

1. 超小型電算機(マイクロ・コンピュータ)と構造解析用プログラム

近年、超小型電算機の進歩はめざましいものが強引、入出力装置を省略すれば、1メガバイトのミニフロッピーディスクを2台つけ、64Kバイトのメモリーを持つ超小型電算機が100万円程度で入手できることは左。この程度の容量があれば、プログラムさえ工夫すれば、構造解析の計算も夢ではないと考えらかれたので、昨年から文部省の科学技術研究費の補助を受け、本学で活動中の構造解析用システムKOHZOを超小型電算機で行なう作業を行って来た。システムKOHZOは、もともとメモリーを出来ただけ有効利用するように設計されたものであるが、大型機を対象に1万台システムであるため、そのままの形では適用できない。色々対策を講じた結果、現在では耐震計算まで可能なシステムに仕上げることはできた。その全貌は近日中に公表する予定であるが(先生報は法政大学工学部研究集報・第15号に掲載),本文ではこの中で考慮1万台要素の剛性行列の改善について報告する。

超小型電算機で使われた言語はBASICが主流である。この言語は、OSが軽くすむ事、対話型式に向く事等FORTRANとはちがつて長所を持つているが、短所も多いことがある。ここで取りあげる短所は、ファイルに用意したサブルーチンを、計算を実行する段階でメモリー上に呼び出して使用する事が出来ないという点である。このためには、64Kバイトのメモリーの中には、データのための領域とその段階の計算に必要なプログラム全部を記憶する領域を取らなければならぬ。1万台かつて、プログラムは出来ただけ短く、しかも適用範囲の広いものである必要がある。

2. 平面構造物の部材の剛性行列

図1の上段に示す特種な構造要素(2本の剛直棒が中央で水平ばね、斜直ばねおよび回転ばねで結ばれている)を考える。この構造要素が、図1下段のように、A端で u_a, v_a, θ_a , B端で u_b, v_b, θ_b の変形を受けるとするとき、 a' と b' の間にあれば次に示すばね力が発生する。

$$N = \mu_a(u_b - u_a) \quad S = \mu_b(v_a - v_b) \quad M = \mu_b(\theta_a - \theta_b)$$

a' , b' が剛体であることを考慮し、 a' , b' に作用するばね力を α , β とし、 a' の変位を a , b' の変位を b とすると、

$$\begin{aligned} \begin{bmatrix} N_a \\ S_a \\ M_a \\ \end{bmatrix} &= \begin{bmatrix} 0 & 0 & f_{\mu_a}(0,0) \\ 0 & 1 & 0 \\ 0 & 0 & \mu_a \end{bmatrix} \begin{bmatrix} 1 & 0 & 1 & 0 & 0 \\ 0 & 1 & 0 & 1 & 0 \\ 0 & 0 & 1 & 0 & 0 \\ 0 & 0 & 0 & 0 & 1 \end{bmatrix} \begin{bmatrix} u_a \\ v_a \\ \theta_a \\ \end{bmatrix} = \begin{bmatrix} \mu_a & 0 & 0 & -\mu_a & 0 & 0 \\ 0 & \mu_a & \mu_b \frac{\beta}{2} & 0 & -\mu_b & \mu_b \frac{\beta}{2} \\ 0 & \mu_b \frac{\beta}{2} (\mu_a^2 + \mu_b^2) & 0 & -\mu_b \frac{\beta}{2} (\mu_a^2 + \mu_b^2) & 0 & \mu_b \frac{\beta}{2} (\mu_a^2 + \mu_b^2) \end{bmatrix} \begin{bmatrix} u_a \\ v_a \\ \theta_a \\ u_b \\ v_b \\ \theta_b \end{bmatrix} \\ &= \begin{bmatrix} u_a & 0 & 0 & \mu_a & 0 & 0 \\ 0 & \mu_b & -\mu_b \frac{\beta}{2} & 0 & \mu_b & -\mu_b \frac{\beta}{2} \\ 0 & \mu_b \frac{\beta}{2} (\mu_a^2 + \mu_b^2) & 0 & -\mu_b \frac{\beta}{2} (\mu_a^2 + \mu_b^2) & 0 & \mu_b \frac{\beta}{2} (\mu_a^2 + \mu_b^2) \end{bmatrix} \begin{bmatrix} u_a \\ v_a \\ \theta_a \\ u_b \\ v_b \\ \theta_b \end{bmatrix} \end{aligned}$$

図1

加算されると、これを平面構造物の部材の剛性行列と比較すると $\mu_a = EA/l, \mu_b = EI_m/l^2, \mu_\beta = EI_m/l$ となる。上式は平面構造物の部材の基本式に一致することができる。いいかえると、平面構造物の要素は、二つ大きな二つおり、図1に示す特殊要素と同等に扱える。杆内の I_a, I_m ばかりにせん断に対する断面二次モーメント、曲げに対する断面二次モーメントと呼ぶことにする。一般には $I_a = I_m$ であるが、二小柱内のようにな分割處理で扱うよろしくておくと、図2に示す3種類の断面構成部に対しても、 μ_a, μ_b, μ_β に特殊値を与えたことによ

つて、一般の節点要素と同じ基本式が適用できる。図2でa, bの2点は同じ座標値を持ち、この間に M_{θ} , M_y , M_u が0または ∞ の要素が水平方向を以て軸にして入るものと見てよし。なお、せん断变形を考慮した部材に対しては

$$M_u = EA/l, M_y = 12EI_0/(l^3(1+\Omega)), M_\theta = EI_m/l$$

とすればよい。ただし、 $\Omega = 12EI_0/(GAh^3)$ とおいた。

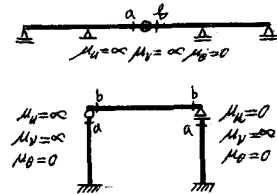


図2

3. 其他の構造要素と一般理論

前節と同様の考察により、格子構造物、立体構造物の部材の剛性行列とその式3を改進できる。

[格子構造物]

$$\begin{bmatrix} 1 & 0 & 0 \\ 0 & 1 & -\frac{1}{2} \\ 0 & 0 & 1 \end{bmatrix} \begin{bmatrix} M_{uu} & 0 & 0 \\ 0 & M_{vv} & 0 \\ 0 & 0 & M_{\theta\theta} \end{bmatrix} \begin{bmatrix} 1 & 0 & 0 \\ 0 & 1 & 0 \\ 0 & 0 & 1 \end{bmatrix}$$

$$\begin{aligned} -1 & 0 & 0 \\ 0 & -\frac{1}{2} & 0 \\ 0 & 0 & -1 \end{aligned} \quad \begin{aligned} M_{uu} &= GJ/l \\ M_{vv} &= EI_m/l \\ M_{\theta\theta} &= 12EI_0/l^3(1+2\Omega) \end{aligned}$$

$$\begin{bmatrix} 1 & 0 & 0 & 0 & 0 & 0 \\ 0 & 1 & 0 & 0 & 0 & 0 \\ 0 & 0 & 1 & 0 & 0 & 0 \\ 0 & 0 & 0 & 1 & 0 & 0 \\ 0 & 0 & 0 & 0 & 1 & 0 \\ 0 & 0 & 0 & 0 & 0 & 1 \end{bmatrix} \begin{bmatrix} M_{uu} & 0 & 0 & 0 & 0 & 0 \\ 0 & M_{vv} & 0 & 0 & 0 & 0 \\ 0 & 0 & M_{\theta\theta} & 0 & 0 & 0 \\ 0 & 0 & 0 & M_{uu} & 0 & 0 \\ 0 & 0 & 0 & 0 & M_{vv} & 0 \\ 0 & 0 & 0 & 0 & 0 & M_{\theta\theta} \end{bmatrix} \begin{bmatrix} 1 & 0 & 0 & 0 & 0 & 0 \\ 0 & 1 & 0 & 0 & 0 & 0 \\ 0 & 0 & 1 & 0 & 0 & 0 \\ 0 & 0 & 0 & 1 & 0 & 0 \\ 0 & 0 & 0 & 0 & 1 & 0 \\ 0 & 0 & 0 & 0 & 0 & 1 \end{bmatrix}$$

$$\begin{aligned} M_{uu} &= EA/l \\ M_{vv} &= 12EI_{w0}/l^3(1+2\Omega) \\ M_{\theta\theta} &= 12EI_{w0}/l^3(1+2\Omega) \\ M_{ww} &= EI_{wm}/l \end{aligned}$$

以上の議論は次のようすに一般化される。図3は示す剛な棒の0点に作用し U_x, U_y, U_z 軸方向の成分を持つ力とモーメントのベクトル F_{0u}, M_{0u} と、a点に作用し U_x, U_y, U_z 軸方向の成分を持つ力とモーメントのベクトル F_{ax}, M_{ax} の関係には式(1), 異位と回転のベクトルの関係には式(2)の関係がある。

$$\begin{bmatrix} F_{0u} \\ M_{0u} \end{bmatrix} = \begin{bmatrix} C_{xu} & 0 \\ W_{0u} C_{xu} & C_{xu} \end{bmatrix} \begin{bmatrix} F_{0u} \\ M_{0u} \end{bmatrix} \quad (1) \quad \begin{bmatrix} U_{0u} \\ \Theta_{0u} \end{bmatrix} = \begin{bmatrix} C_{xu}^T & C_{xu}^T W_{0u} \\ 0 & C_{xu}^T \end{bmatrix} \begin{bmatrix} U_{ax} \\ \Theta_{ax} \end{bmatrix} \quad (2) \quad W_{0u} = \begin{bmatrix} 0 & \frac{\partial}{\partial u} \\ \frac{\partial}{\partial u} & 0 \end{bmatrix} \quad (3)$$

ただし、 C_{xu} は U_x, U_y, U_z 軸から x, y, z 軸への座標変換行列、 W_{0u} は式(3)に示すよろず、線分 OA の x, y, z 軸への射影長を要素とする逆対称行列で $W_{0u} = -W_{u0}$ 有了性質を持つ。

一方、図4は示す立体の曲線部材のa, b端に剛接合構造統一化端と任意の一端0まで伸びた要素を考へ、a, b端の断面力を R_a, R_b 、b点に鉛直と、この2組の力を釣合つていいだければならぬから

$$\begin{bmatrix} F_{au} \\ M_{au} \end{bmatrix} = -\begin{bmatrix} F_{bu} \\ M_{bu} \end{bmatrix} + K \left\{ \begin{bmatrix} U_{bu} \\ \Theta_{bu} \end{bmatrix} - \begin{bmatrix} U_{au} \\ \Theta_{au} \end{bmatrix} \right\} \quad K = \int \begin{bmatrix} C_{bu}^T & C_{bu}^T W_{bu} \\ 0 & C_{bu}^T \end{bmatrix} \begin{bmatrix} EA \\ EI_w \end{bmatrix} \begin{bmatrix} C_{au} & 0 \\ W_{bu} C_{au} & C_{au} \end{bmatrix} d\alpha$$

左の関係がある。¹⁾ 上式で求めた a', b' 端の断面力を内応 a, b 端にとどめ、Kを消去化すると $(K = TAT)$ 、左式が得られる。ただし、Kを消去化するには0点と U_x, U_y, U_z 軸

$$\begin{bmatrix} F_{au} \\ M_{au} \\ F_{bu} \\ M_{bu} \end{bmatrix} = \begin{bmatrix} C_{au} & 0 \\ W_{bu} C_{au} & C_{au} \\ -C_{bu} & 0 \\ W_{bu} C_{bu} & C_{bu} \end{bmatrix} TAT^T \begin{bmatrix} C_{bu}^T & C_{bu}^T W_{bu}^T & C_{bu}^T - C_{bu}^T W_{bu}^T \\ 0 & C_{bu}^T & 0 & C_{bu}^T \\ 0 & 0 & C_{bu}^T & 0 \end{bmatrix} \quad \begin{aligned} &\text{を適当に選ばなければならぬ。} \\ &\text{左のよろずには} \\ &U_x, U_y, U_z \text{ は } \frac{du}{ds} \text{ が} 1 \text{ で} \\ &\text{分布する} \end{aligned}$$

剛心(弾性剛心)を原長とし、 U_x, U_y 軸にそつてはかゝるa点の座標、 $1/M_{uu}, 1/M_{vv}$ は断面諸量を $I_x = \int (EI_l + EA)^{-1} ds$, $I_y = \int (EI_l + EA)^{-1} ds$, $I_{xy} = \int (EI_l + EA)^{-1} \sin \theta \cos \phi ds$ とおいたときの断面主軸まわりの断面二次モーメントである(θ は ds と z 軸のなす角)。

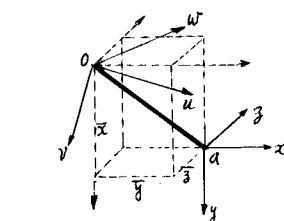


図3

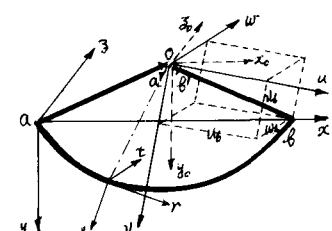


図4

$$\begin{aligned} &\text{左のよろずには} \\ &U_x, U_y, U_z \text{ は } \frac{du}{ds} \text{ が} 1 \text{ で} \\ &\text{分布する} \end{aligned}$$

$$\begin{bmatrix} C & 0 & 0 \\ 0 & M_{uu} & 0 \\ 0 & 0 & M_{vv} \end{bmatrix} \begin{bmatrix} C & A & V_a & -C & -V_b \\ 0 & M_{ub} & 0 & -C & -U_b \\ 0 & 0 & M_{ab} & 0 & 0 \end{bmatrix} \begin{bmatrix} 1 & 0 & 0 & 0 & 0 \\ 0 & 1 & 0 & 0 & 0 \\ 0 & 0 & 1 & 0 & 0 \\ -C & 0 & 0 & 1 & 0 \\ -A - C & 0 & 0 & 0 & 1 \end{bmatrix} \\ &C = \cos \alpha, A = \sin \alpha \quad (\alpha \text{は} u \\ &\text{軸と} z \text{ 軸のなす角}) \\ &\frac{1}{M_{uu}} = \int \frac{ds}{EI_l} \end{aligned}$$

1) この関係は仮想力の原理を用いて証明できる(松井:アトリックス構造解析(コロナ社) p232以下参照)